

## Список литературы

- [1] Смирнов Б.М. Физика фрактальных кластеров. М. (1991), 135 с.
- [2] Баланкин А.С. ФТТ **34**, 4, 1245 (1992).
- [3] Dauskardt R.H., Haubensak F., Ritchie R.O. Acta Met. Mater. **38**, 2, 143 (1990).
- [4] Мосолов Ф.Б. // ЖТФ **61**, 7, 57 (1991).
- [5] Уайэтт О., Дью-Хьюз Д. Металлы, керамики, полимеры / Пер. с англ.; Под ред. Б.Я.Любова. М. (1979), 580 с.
- [6] Трефилов В.И., Мильман Ю.В., Фирстов С.А. Физические основы прочности тугоплавких металлов. Киев (1975), 316 с.
- [7] Структура, текстура и механические свойства деформированных сплавов молибдена / Под общ. ред. В.И.Трефилова. Киев (1983), 232 с.

УДК 537.622.4:539.216.2

© Физика твердого тела, том 37, № 4, 1995  
Solid State Physics, vol. 37, N 4, 1995

## МАГНИТНЫЕ СВОЙСТВА МНОГОСЛОЙНЫХ ПЛЕНОК (Fe/Mo)<sub>10</sub>, ПОЛУЧЕННЫХ МАГНЕТРОННЫМ РАСПЫЛЕНИЕМ

Л.А. Чеботкевич, С.В. Яловкина, Ю.Д. Воробьев, И.М. Слабженникова

Научно-исследовательский физико-технический институт  
при Дальневосточном государственном университете, Владивосток  
(Поступило в Редакцию 28 июня 1994 г.)

В настоящее время большой научный и практический интерес представляют многослойные магнитные структуры с чередующимися слоями из ферромагнитных и немагнитных материалов [1,2]. Такие структуры проявляют уникальные магнитные, механические и другие свойства. В частности, мультислойные пленки с высокой намагниченностью и магнитомягкими свойствами могут применяться в качестве элементов магнитных интегральных головок.

В данной работе исследуются магнитные свойства многослойных композиционно-модулированных пленок (Fe/Mo)<sub>10</sub> в зависимости от толщины слоев Fe и Mo.

Пленки получали методом магнетронного распыления на постоянном токе в атмосфере Ar. Давление остаточных газов в камере было не выше  $3 \cdot 10^{-5}$  Торр, а давление Ar в процессе напыления составляло  $7 \cdot 10^{-4}$  Торр. Поочередное напыление Fe и Mo осуществлялось из двух мишеней, над которыми располагалась вращающаяся карусель со стеклянными подложками. Скорость вращения карусели была 1.5 rev./min.

Намагниченность  $I_{\text{eff}}$  пленок измеряли индукционным методом, коэрцитивную силу  $H_c$  и поле анизотропии  $H_k$  — магнитооптическим методом. Кристаллическую структуру пленок исследовали дифракционным методом и методом электронной микроскопии. Толщину слоев определяли методом рентгеновской интерференции. Концентрационный состав пленок определяли методом оже-анализа с послойным травлением пучком аргона.

Данные электронной оже-спектроскопии свидетельствуют о присутствии кислорода ( $\sim 5 \div 6$  at.%) и углерода ( $\sim 2$  at.%) в многослойных композиционно-модулированных пленках (Fe/Mo)<sub>10</sub>.

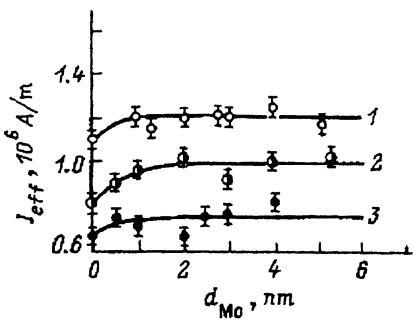


Рис. 1. Зависимость эффективной намагниченности  $I_{\text{eff}}$  от толщины прослоек молибдена.  
 $d_{\text{Fe}}(\text{nm})$ : 1 — 10.6, 2 — 5.3, 3 — 3.0.

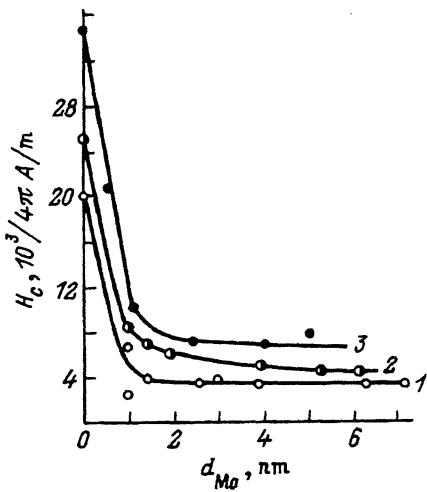


Рис. 2. Зависимость коэрцитивной силы от толщины прослоек Mo.  
Обозначения кривых те же, что и на рис. 1.

Электронно-микроскопические исследования и картины микродифракции показали, что слоистые пленки Fe ( $d_{\text{Mo}} = 0$ ) имеют поликристаллическую структуру с размером зерна  $R \approx 7 \text{ nm}$ . При подпылении прослоек Mo пленки Fe становятся ультрадисперсными с размером зерна порядка 2–3 nm, что приводит к уширению дифракционных колец.

В работе исследовалось три серии пленок с толщинами ферромагнитных слоев  $d_{\text{Fe}} = 10.6, 5.3$  и  $3.0 \text{ nm}$ . На рис. 1 приведена зависимость намагниченности, рассчитанной на суммарный объем магнитных слоев, от толщины слоев Mo. Видно, что намагниченность пленок существенно зависит от толщины ферромагнитных слоев. Для пленок с одинаковой толщиной прослоек Mo намагниченность тем меньше, чем меньше толщина слоев Fe. В композиционно-модулированных пленках  $(\text{Fe}/\text{Mo})_{10}$  не наблюдается зависимость намагниченности от толщины слоев Mo при  $d_{\text{Mo}} > 1 \text{ nm}$ , что свидетельствует об отсутствии обменного взаимодействия между слоями железа [3]. Некоторое увеличение намагниченности, наблюдаемое при подпылении слоев молибдена, может быть связано с тем, что адсорбированный на поверхности слоев железа кислород при последующем напылении Mo идет на образование окисла молибдена. В случае же напыления слоистых пленок Fe адсорбированный на поверхности кислород частично окисляет железо.

Зависимость коэрцитивной силы от толщины слоев молибдена приведена на рис. 2. Кривые  $H_c(d_{\text{Mo}})$  для всех серий имеют подобную зависимость. Увеличение толщины парамагнитной прослойки до  $\approx 1 \text{ nm}$  приводит к резкому уменьшению величины  $H_c$ . При толщине  $d_{\text{Mo}} > 2 \text{ nm}$  величина  $H_c$  уже практически не зависит от толщины парамагнитных прослоек. Следует отметить, что при одинаковых толщинах прослоек Mo (а также в случае, когда  $d_{\text{Mo}} = 0$ )  $H_c$  тем меньше, чем больше  $d_{\text{Fe}}$ .

Известно [4], что коэрцитивная сила обусловлена закреплением доменных стенок межзеренными границами ( $H_b$ ), дисперсией легких осей

кристаллографической анизотропии ( $H_k$ ), шероховатостями поверхности слоев Fe ( $H_s$ ). Изменение величины  $H_c$  при увеличении толщины слоев Fe ( $d_{\text{Mo}} = \text{const}$ ) обусловлено в основном компонентой  $H_s \sim (d_{\text{Fe}})^{-4/3}$ . Оценки показали, что при увеличении  $d_{\text{Fe}}$  от 3 до 10 нм компонента  $H_s$  уменьшается примерно в пять раз.

Уменьшение коэрцитивной силы при изменении  $d_{\text{Mo}}$  от 0 до 2 нм обусловлено компонентами  $H_b$  [4] и  $H_k$  [5]

$$H_b = 24.8 \frac{(\Delta I)^{8/3} \alpha^{4/3} b^{4/3} n^{2/3}}{I \gamma^{1/3} \delta},$$

$$H_k = 1.1 K^{4/3} R^{4/3} / I \gamma^{1/3} \delta,$$

где  $K$  — константа анизотропии,  $\gamma$  и  $\delta$  — поверхностная энергия и ширина доменной границы,  $\Delta I$  — скачок намагниченности на границе зерно-межзеренная граница,  $a$ ,  $b$ ,  $n$  — ширина, протяженность и плотность межзеренных границ. Компонента  $H_k$  уменьшается примерно в три раза при уменьшении размера зерна от 7 до 3 нм. При  $R \approx 3$  нм объем, занимаемый межзеренными границами, увеличивается и составляет  $\sim 50\%$  от объема пленки. Происходит перераспределение точечных дефектов (вакансий, атомов остаточных газов и др.) по большому объему межзеренных границ, что приводит к уменьшению магнитостатических полей границ и, следовательно, к уменьшению компоненты  $H_b$ . Оценить величину изменения  $\Delta I$ , а следовательно, и  $H_b$  на данном этапе не представляется возможным. Однако если положить, что при увеличении плотности межзеренных границ  $\Delta I$  изменяется на 15–20%, то  $H_b$  уменьшится в 1.5 раза.

В заключение следует отметить, что коэрцитивная сила и эффективная намагниченность многослойных поликристаллических пленок Fe/Mo существенно зависят от толщины слоев железа, а зависимость от толщины прослоек молибдена наблюдается только в интервале от 0 до 2 нм.

### Список литературы

- [1] Федосюк В.М., Макутин Г.В., Капсютич О.И. Зарубеж. радиоэлектрон. 4–5, 42 (1992).
- [2] Van Dau F.N., Fert A., Etienne P. J. de Phys. **49**, 8 (1988).
- [3] Coehoorn R. Phys. Rev. **B44**, 17, 9331 (1991).
- [4] Malyutin V.I., Osukhovskii V.E., Ivanov A.A., Chebotkevich L.A., Lobov L.V., Vorobiev Yu.D. Phys. Stat. Sol. (a) **98**, 585 (1986).
- [5] Иванов А.А., Лобов И.В. Тез. докл. VIII Всес. шк. семинара. Донецк (1982), С. 99.